



اثر استخلاف گروه فنیل در موقعیت β بر قدرت پیوند هیدروژنی درون مولکولی β-دی کتون‌ها به کمک نظریه تابعی چگال (DFT)

محمد وکیلی^{*}، عبدالرضا تکوئی^۱، فرخزاد محمدی زنوز^۲

^۱دانشگاه فردوسی مشهد، دانشکده شیمی، مشهد، ایران

^۲دانشگاه صنعتی شیراز، گروه شیمی

^۳دانشگاه تربیت معلم سبزوار، گروه شیمی

تاریخ ثبت اولیه: ۱۳۸۹/۹/۲۷، تاریخ دریافت نسخه اصلاح شده: ۱۳۸۹/۱۱/۱۲، تاریخ پذیرش قطعی: ۱۳۸۹/۱۱/۱۶

چکیده

تجزیه و تحلیل صور تبدیلهای سیس-انول مولکول‌های استیل استون (AA)، بنزوئیل استون (BA)، دی بنزوئیل متان (DBM)، ۱-فنیل-۴-دی‌متیل-پتان-۱ و ۳-دی‌متیل-۳-بنزوئیل-۲-بوتانون، B3LYP/6-311++G** مطابق این محاسبات اختلاف انرژی بین بعضی نظریه تابعی چگال در سطح محاسباتی^{*} به طور کامل انجام شد. مقایسه این ساختارهای پایدار کم و بنابراین احتمال حضور همزمان بعضی از آنها همراه با یکدیگر در ترکیب وجود دارد. مقایسه ای بین مولکولی ترکیبات فوق نشان دهنده آن است که جایگزینی گروه‌های متیل در AA با فنیل باعث افزایش قدرت پیوند هیدروژنی درون مولکولی می‌گردد. ترتیب به دست آمده در مقایسه با نتایج طیف بینی^۱H NMR تائید می‌شود.

واژه‌های کلیدی: استیل استون، بنزوئیل استون، دی بنزوئیل متان، ۱-فنیل-۴،۴-دی‌متیل-پتان-۱، ۳-دی‌متیل-۲-بوتانون و ۵،۵-دی‌متیل هگزان-۲،۴-دی‌ان، β-دی‌کتون‌ها، قدرت پیوند هیدروژنی درون مولکولی، نظریه تابعی چگال.

۱. مقدمه
تعلق دارند. پیوند هیدروژنی درون مولکولی در بسیاری از مولکول‌های آلی و بیومولکول‌هایی نظیر قندها، هورمون‌ها، آنزیم‌ها و پروتئین‌ها وجود دارد و فعالیت بسیاری از این مولکول‌ها تحت

پیوند هیدروژنی درون مولکولی یک اندرکنش اختصاصی بین گروه‌های دهنده و گیرنده پروتون است که هر دو به یک مولکول

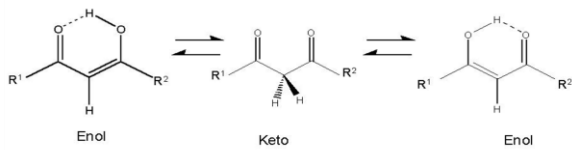
* عهدہ دار مکاتبات: محمد وکیلی
نشانی: مشهد - دانشگاه فردوسی مشهد - دانشکده شیمی
تلفن: ۰۹۱۵۳۲۱۵۴۱۰ - پست الکترونیک: mvakilli@yahoo.com

۲. روش محاسبات

تمامی محاسبات مکانیک کوانتومی با استفاده از نرم افزار گویند G03 [۳] انجام پذیرفته است. بهینه‌سازی ساختار برای صورت‌بندی‌های پایدار انولی در سطح B3LYP [۴-۵] و با به کارگیریتابع پایه‌ای $G^{**}G^{**}-311++6$ -انجام شده است.

۳. نتایج و تجزیه و تحلیل داده‌ها

یک ترکیب β -دیکتون غالباً در شکل سیس - انولی قرار می‌گیرد، زیرا در این حالت توسط پیوند هیدروژنی درون مولکولی پایدار می‌گردد. دو ایزومر متفاوت مربوط به شکل‌های سیس - انول در β -دیکتونهای غیرمتقارن در (شکل-۱) نشان داده شده است. همان طور که ملاحظه می‌شود، پروتون انولی از یک اتم اکسیژن به اتم اکسیژن دیگر منتقل می‌گردد.



AA: R₁=R₂=Me
BA: R₁=Me and R₂=Ph
DBM: R₁=R₂=Ph
DMHD: R₁=t-But and R₂=Me
BDMB: R₁=t-But and R₂=Ph

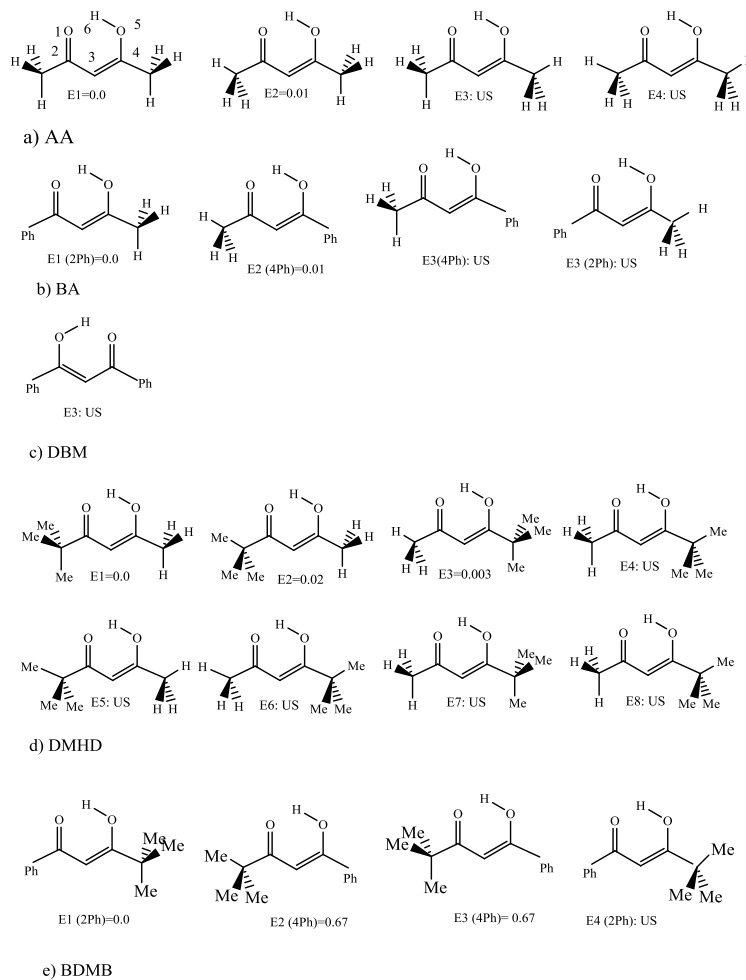
شکل ۱- تاثیرات کتو-انول در β -دیکتون‌ها.

صورت بندی‌های سیس - انول مولکولهای AA، BA، DBM، DMHD و BDMB به همراه انرژی‌های نسبی محاسبه شده در سطح $G^{**}G^{**}-311++6$ B3LYP/6-311++G^{*} kcal/mol در (شکل-۲) نشان داده شده‌اند. طبق نامگذاری، حلقه فنیل، در صورت‌بندی‌های Ph-2-نzdیک به گروه کربونیل و در صورت‌بندی‌های 4-Ph-2-نzdیک به گروه هیدروکسیل است. همانطور که در این شکل دیده می‌شود، در AA و BA اختلاف انرژی بین صورت‌بندی‌های پایدار سیس - انول نسبت به پایدارترین صورت‌بندی برابر با 0.01 ± 0.05 کیلوکالری بر مول است در حالیکه این اختلاف در BDMB حداقل 0.67 ± 0.04 کیلوکالری بر مول است. چنین اختلاف کمی بین انرژی صورت‌بندی‌ها می‌تواند تایید کننده این مسئله باشد که در ترکیبات فوق صورت بندی‌های

تاثیر پیوند هیدروژنی قرار دارد. این پیوند پیکربندی بسیاری از مولکول‌ها را معین می‌کند و همچنین به خاطر وجود این پیوند است که پروتئین‌ها دارای شکل خاصی هستند. قدرت پیوند یک پارامتر بسیار مهم در تقسیم‌بندی سیستم‌های دارای پیوند هیدروژنی است. این قدرت از نظر ساختاری توسط پارامترهایی از قبیل فاصله بین دو اتم الکترونگاتیو (R(A-B)، طول پیوند AHB مشخص می‌گردد [۶]. این پارامترها را می‌توان توسط روش‌های نظری کوانتومی، تجربی پراش، و طیف سنجی به دست آورد.

در یک β -دیکتون تعادل دو شکل کتو و انول با انتقال پروتون همراه است. شکل انول توسط پیوند هیدروژنی درون مولکولی پایدار می‌شود. با توجه به شرایط محیطی (نظیر دما، حلال و غلظت) و پارامترهای موثر بر خواص الکترونی حلقه کیلیتی (حلقه شش تایی شامل گروه‌های هیدروکسیل، کربونیل و آلنی) که ناشی از خصوصیات الکترون دهنگی و الکترون کشنگی استخلاط‌های مختلف است، تعادل انول - کتو و قدرت پیوند هیدروژنی تحت تاثیر قرار می‌گیرد. تشکیل پیوند هیدروژنی می‌تواند باعث افزایش رزونانس الکترون‌های π سیستم مزدوج شده و لذا تمايلی برای یکسان شدن مرتبه پیوندی در پیوندهای والانس حلقه کیلیتی شش عضوی ایجاد گردد. بنابراین، به نظر می‌رسد که هر پارامتری که در چگالی الکترونی حلقه کیلیتی موثر باشد می‌تواند در قدرت پیوند هیدروژنی موثر بوده و قدرت آن را تغییر دهد.

هدف این مقاله، بررسی تاثیر استخلاف گروه فنیل در موقعیت β بر قدرت پیوند هیدروژنی درون مولکولی β -دیکربونیل‌ها به کمک نظریه تابعی چگال (DFT) است. برای این منظور مقایسه‌هایی بین ساختار مولکولی ترکیبات بنزوئیل استن (BA) و دی‌بنزوئیل متان (DBM) با استیل استون (AA)، و همچنین ترکیب ۱-بنزوئیل-۳،۳-دی‌متیل-۲-بوتانون (BDMB) با ۵،۵-دی‌متیل-هگزان-۴،۲-دی‌ان (DMHD) صورت گرفته است، که نشان دهنده اثر جایگزینی گروه‌های متیل با فنیل است.



شکل ۲- صورتندیهای سیس-انول ترکیبات AA، BA، DBM، DMHD و BDMB و انرژی های نسبی آنها بر حسب kcal/mol محاسبه شده در سطح B3LYP/6-311++G** US به معنای ناپایدار است.

تقارن Cs هستند. به هر حال کوچک بودن این زاویه، با وجود اثر دافعه فضایی بالا، نشان‌دهنده آن است که یک رزونانس نسبتاً قوی بین الکترون‌های π حلقه فنیل و حلقه انولی وجود دارد. مقایسه دیگری بین زوایای دووجهی بین حلقه‌های کیلیتی و فنیل نشان می‌دهد که مقدار این زاویه در ترکیبات BA، DBM و BDMB می‌باشد که در آنها حلقه فنیل به گروه کربونیل نزدیک برای صورتندیهای که در آنها حلقه فنیل به گروه کربونیل نزدیک است (مانند 2-Ph در BA و BDMB)، کوچکتر از صورتندیهای دیگر (مانند 4-Ph در BA و BDMB) است. رزونانس الکترونی مستقیم و بدون واسطه حلقه فنیل با گروه کربونیل در صورتندیهای 2-Ph باعث مغلوب شدن بیشتر اثر دافعه و در نتیجه، کمتر شدن زاویه مذکور است.

پایدار سیس-انول، حداقل در فاز گازی، به طور همزمان وجود دارند [۶ و ۲].

محاسبات بهینه سازی هندسه مولکولی در سطح محاسباتی B3LYP/6-311++G**، به طور کامل، برای تمامی صورتندیهای انولی پایدار مولکولهای مورد بررسی انجام شده است. پارامترهای ساختاری اصلی حلقه انولی و زوایای دو وجهی بین حلقه انولی و گروه فنیل در صورتندیهای پایدار در (جدول-۱) آورده شده اند. جهت مقایسه کامل تر پارامترهای ساختاری AA و DMHD در این جدول ارائه شده اند. از بررسی زاویه دووجهی ترکیبات BA، DBM و BDMB در جدول فوق مشخص می‌شود که هر چند انحراف کوچکی در هم‌صفحه بودن حلقه فنیل با سطح حلقه انولی دیده می‌شود، اما ترکیبات فوق غیر مسطح بوده و دارای

جدول ۱- پارامترهای هندسی مولکول های AA, BA, DBM, DMHD و BDMB محاسبه شده در سطح محاسباتی B3LYP/6-311++G**. (طول های پیوند بر حسب انگستروم و زوایا بر حسب درجه).

	AA ^a			BA ^b			DBM ^c			DMHD ^d			BDMB		
	E1	E2	Avg.	2Ph	4Ph	Avg.	E1	E2	E3	Avg.	E1	E2	E3	Avg.	
RC-O	۱/۳۲۳	۱/۳۲۴	۱/۳۵۲	۱/۳۲۴	۱/۳۲۶	۱/۳۲۵	۱/۳۲۶	۱/۳۲۲	۱/۳۲۸	۱/۳۲۵	۱/۳۲۵	۱/۳۲۸	۱/۳۲۴	۱/۳۲۴	
RC=O	۱/۲۴۸	۱/۲۴۹	۱/۲۴۷	۱/۲۵۲	۱/۲۵۰	۱/۲۵۱	۱/۲۵۴	۱/۲۵۰	۱/۲۴۶	۱/۲۴۷	۱/۲۵۳	۱/۲۴۸	۱/۲۵۳	۱/۲۵۳	
RC-C	۱/۴۹۱	۱/۴۹۴	۱/۴۹۳	۱/۴۹۳	۱/۴۹۴	۱/۴۹۱	۱/۴۹۴	۱/۴۹۱	۱/۴۹۴	۱/۴۹۴	۱/۴۹۴	۱/۴۹۴	۱/۴۹۴	۱/۴۹۴	
RC=C	۱/۳۷۳	۱/۳۷۴	۱/۳۷۲	۱/۳۷۲	۱/۳۷۸	۱/۳۷۵	۱/۳۷۸	۱/۳۷۴	۱/۳۷۷	۱/۳۷۲	۱/۳۷۶	۱/۳۷۶	۱/۳۷۶	۱/۳۷۶	
RO-H	۱/۰۰۷	۱/۰۰۳	۱/۰۰۵	۱/۰۰۶	۱/۰۰۱	۱/۰۰۸	۱/۰۰۱	۱/۰۰۹	۱/۰۰۳	۱/۰۰۵	۱/۰۰۶	۱/۰۰۸	۱/۰۰۷	۱/۰۱۴	
RO... H	۱/۶۱۱	۱/۶۳۳	۱/۶۲۲	۱/۶۰۴	۱/۶۰۴	۱/۶۰۵	۱/۶۰۴	۱/۶۰۴	۱/۶۱۱	۱/۶۰۸	۱/۶۰۸	۱/۶۰۸	۱/۶۰۷	۱/۶۰۷	
RO... O	۲/۰۵۹	۲/۰۵۴	۲/۰۵۷	۲/۰۵۲	۲/۰۵۱	۲/۰۵۳	۲/۰۵۲	۲/۰۵۱	۲/۰۵۲	۲/۰۵۲	۲/۰۵۲	۲/۰۵۲	۲/۰۵۲	۲/۰۵۲	
OHO	۱۴۹/۲	۱۴۸/۵	۱۴۸/۴	۱۴۸/۴	۱۴۸/۷	۱۴۸/۵	۱۴۹/۷	۱۴۹/۷	۱۴۸/۶	۱۴۹/۴	۱۴۹/۲	۱۴۹/۴	۱۴۹/۴	۱۴۹/۴	
Φ^e															
										</td					

کوتاهتر اما طول O-H و زاویه OH-O بیشتر می‌شوند. از بررسی و مقایسه این پارامترها در (جدول-۱) می‌توان به وضوح نتیجه گرفت که ترتیب قدرت پیوند هیدروژنی در ترکیبات مورد بررسی عبارت است از:



مشاهدات تجربی جابجایی شیمیایی پروتون انولی در طیف‌بینی NMR در حلال CCl₄ برای مولکولهای AA، BA، DMHD، AA، BA، DMHD، DBM و BDMB، مقدار δOH را بر حسب ppm به ترتیب برابر با 17/۱، ۱۶/۷، ۱۶/۲، ۱۵/۹، ۱۵/۴ و ۱۵/۳ نشان داده است [۷-۸]. ترتیب نتیجه گیری شده بالا برای قدرت پیوند هیدروژنی با نتایج تجربی ¹H-NMR در توافق بسیار عالی است. همچنین، با توجه به این ترتیب نتیجه گیری می‌شود که گروه فنیل به علت دارا بودن سیستم الکترونی π و به علت مزدوج شدن با الکترونها π حلقة کی لیتی کوتنهای π باعث افزایش قدرت پیوند هیدروژنی درون مولکولی در بتا-دی-کوتنهای می‌شود.

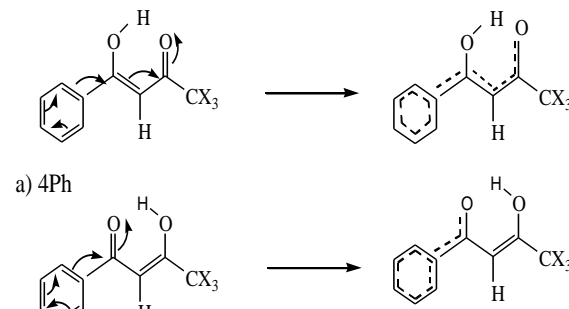
۴. نتیجه گیری

اختلاف کم انرژیهای محاسباتی برای صورتبندیهای پایدار سیس-انولی مولکولهای AA، BA، DMHD، DBM و DMHD می‌تواند احتمال حضور همزمان آنها در نمونه ترکیبات مورد بررسی را تأیید نماید. بررسی ساختار هندسی صورتبندیهای فوق آنها نشان دهنده رزونانس قابل ملاحظه‌ای بین حلقة‌های فنیل و کی لیتی است که باعث تمایل بالای این حلقة‌ها برای هم‌صفحه بودن، با وجود اثر دافعه فضایی بالای گروه فنیل، است. این رزونانس باعث افزایش قدرت پیوند هیدروژنی درون مولکولی می‌گردد که نتایج حاصل از طیف‌بینی ¹H-NMR ¹ تأیید کننده ترتیب پیشنهاد شده برای قدرت پیوند هیدروژنی ترکیبات مورد بررسی است.

۵. مراجع

- [1] S.F. Tayyari, J.S. Emampour, M. Vakili, A.R. Nekoei and M. Hassanpour, *J. Mol. Struct.*, 794 (2006) 204.

طبق (جدول-۱)، استخلاف حلقة‌های فنیلی در مولکول DBM، و نیز در صورتبندی 4-Ph BA، باعث افزایش طول پیوندهای C=C و C=O در مقایسه با AA شده، در حالی که طول C-C کاهش یافته است. این تغییرات نشان دهنده افزایش عدم استقرار الکترونها π در حلقة انولی صورتبندیهای 4-Ph با AA بوده و به معنای وجود رزونانس بین الکترونها π حلقة فنیلی با بخش C=C-C=O در حلقة انولی است. اما در مورد صورتبندی 2-Ph BA، استخلاف حلقة Ph تنها باعث افزایش طول پیوند C=O شده و تغییرات در طول دیگر پیوندها محسوس نمی‌باشد. لذا همانطور که در (شکل-۳) نشان داده شده است، به نظر می‌رسد که حلقة فنیلی در صورتبندی 2-Ph گروه C=O مزدوج شده و فقط یک رزونانس بین الکترونها π حلقة فنیلی با الکترونها π گروه کربونیل وجود دارد. تغییرات مشابه برای صورتبندیهای 2-Ph و 4-Ph مولکول BDMB نسبت به مولکول DMHD نیز در (جدول-۱) دیده می‌شود. این نتیجه با دلیل ارائه شده برای کوچکتر بودن زاویه دووجهی بین حلقة فنیل و حلقة کی لیتی در صورتبندیهای 2-Ph در پاراگراف قبل همخوانی بسیار خوبی دارد.



شکل ۳- عدم استقرار الکترونها π در صورتبندیهای 2-Ph و 4-Ph

طول پیوند O-H و زاویه OH-O و همچنین فواصل O...O و H...O نیز از جمله پارامترهایی هستند که برای مقایسه قدرت پیوند هیدروژنی در ترکیبات β-دی-کوتونی به کار می‌روند. هر چه قدرت پیوند هیدروژنی یک ترکیب بیشتر شود طول های O...O و O...H

- Komaromi, R.L. Martin, D.J. Fox, T. Keith, M.A. Al-Laham, C.Y. Peng, A. Nanayakkara, M. Challacombe, P.M.W. Gill, B. Johnson, W. Chen, M.W. Wong, C. Gonzalez, and J.A. Pople, Gaussian 03, Revision B.05, Gaussian, Inc., Pittsburgh PA, (2003).
- [4] A.D. Becke, *J. Chem. Phys.*, 98 (1993) 5648.
- [5] C. Lee, W. Yang, R.G. Parr, *Phys. Rev. B.*, 37 (1988) 785.
- [6] M. Vakili, S.F. Tayyari, A.R. Nekoei, H. Miremad, S. Salemi and R.E. Sammelson, *J. Mol. Struct.*, 970 (2010) 160.
- [7] R.L. Lintvedt and H.F. Holtzclaw, *J. Am. Chem. Soc.*, 88 (1966) 2713.
- [8] R.P. Bell, *The proton in chemistry*, Capman , Hall, London, (1973).
- [2] S.F. Tayyari, H. Rahemi, A.R. Nekoei, M. Zahedi-Tabrizi and Y.A. Wang, *Spectrochim. Acta. A*. 66 (2007) 394.
- [3] M.J. Frisch, G.W. Trucks, H.B. Schlegel, G.E. Scuseria, M.A. Robb, J.R. Cheeseman, J.A.J. Montgomery, T. Vreven, K.N. Kudin, J.C. Burant, J.M. Millam, S.S. Iyengar, J. Tomasi, V. Barone, B. Mennucci, M. Cossi, G. Scalmani, N. Rega, G.A. Petersson, H. Nakatsuji, M. Hada, M. Ehara, K. Toyota, R. Fukuda, J. Hasegawa, M. Ishida, T. Nakajima, Y. Honda, O. Kitao, H. Nakai, M. Klene, X. Li, J.E. Knox, H.P. Hratchian, J.B. Cross, C. Adamo, J. Jaramillo, R. Gomperts, R.E. Stratmann, O. Yazyev, A.J. Austin, R. Cammi, C. Pomelli, J.W. Ochterski, P.Y. Ayala, K. Morokuma, G.A. Voth, P. Salvador, J.J. Dannenberg, V.G. Zakrzewski, S. Dapprich, A.D. Daniels, M.C. Strain, O. Farkas, D.K. Malick, A.D. Rabuck, K. Raghavachari, J.B. Foresman, J.V. Ortiz, Q. Cui, A.G. Baboul, S. Clifford, J. Cioslowski, B.B. Stefanov, G. Liu, A. Liashenko, P. Piskorz, I.